

# **SEL 329 – CONVERSÃO ELETROMECCÂNICA DE ENERGIA**

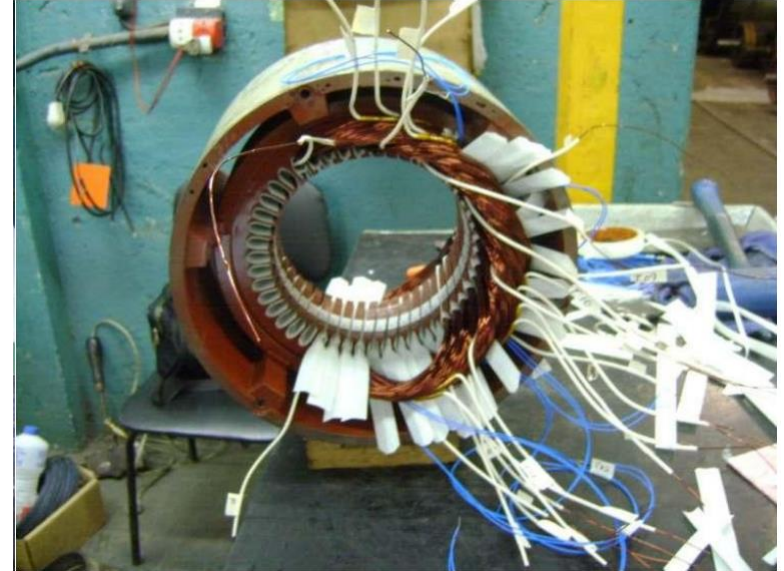
## **Aula 17**

- Enrolamento distribuído
- Máquinas de corrente alternada
  - Campo Magnético Girante

# Enrolamento Distribuído



**Bobinas**

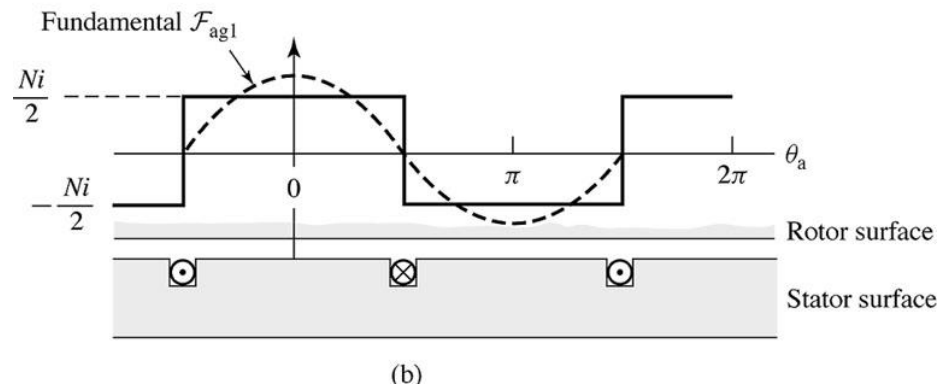
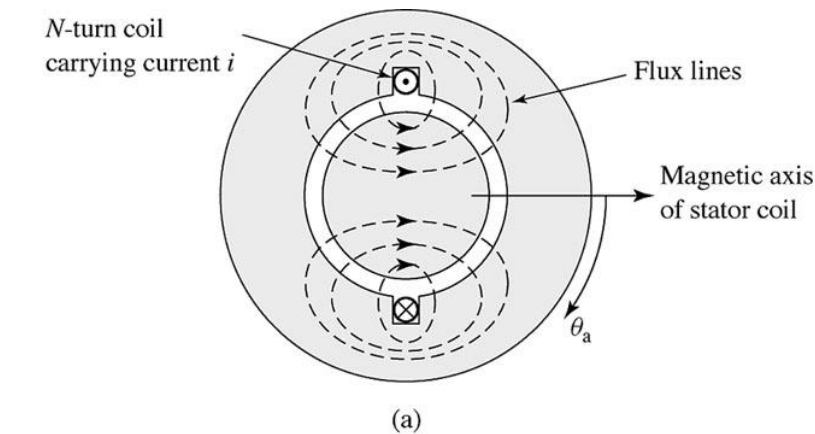


**Montagem do  
Enrolamento**



**Enrolamento  
finalizado**

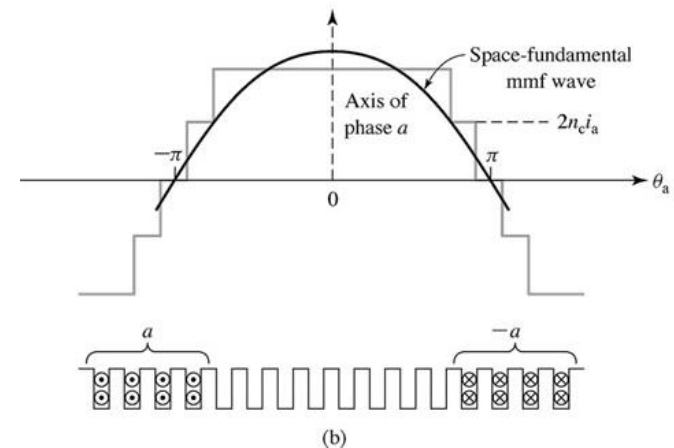
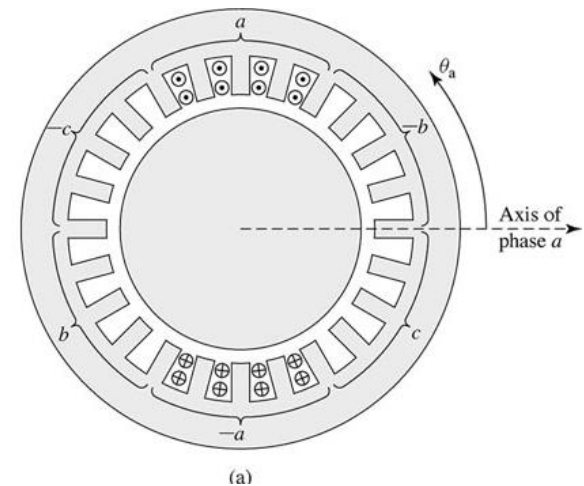
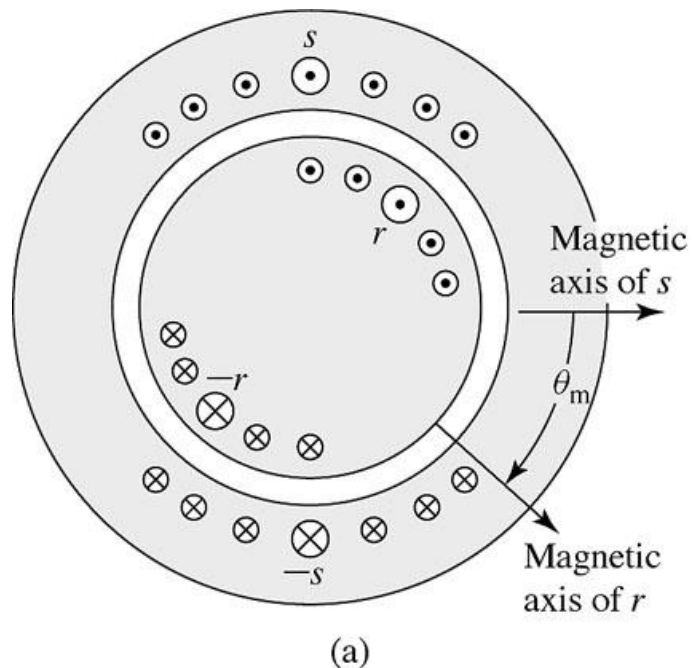
# Campo Magnético Produzido por uma Bobina



Para um dado instante de tempo, se a bobina de cada fase for concentrada em uma única ranhura, a distribuição espacial de força magnetomotriz será não-senoidal, induzindo tensões altamente distorcidas no enrolamento do rotor;

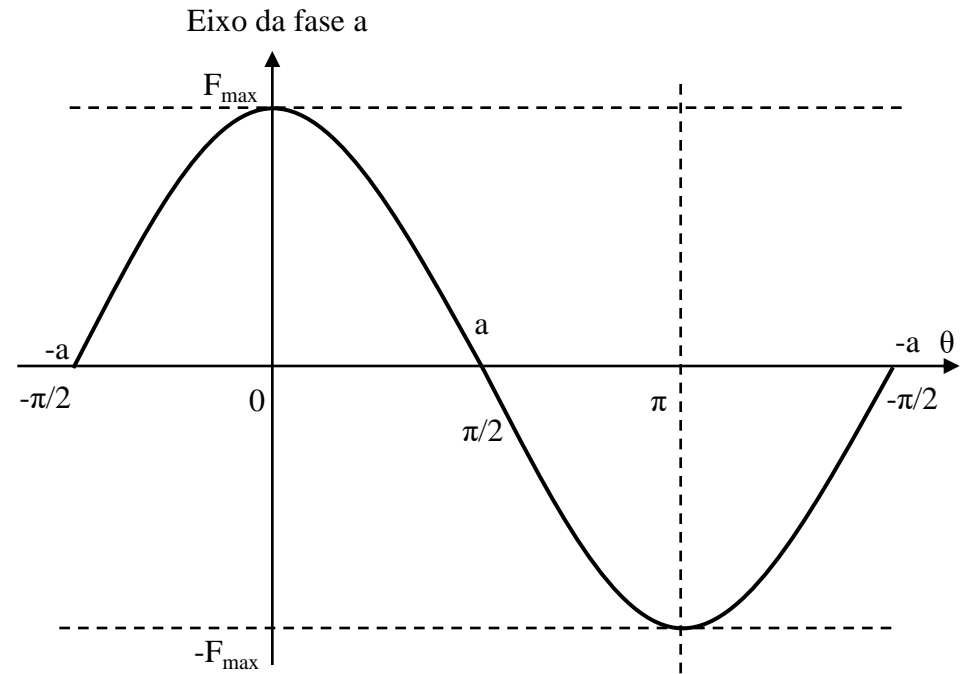
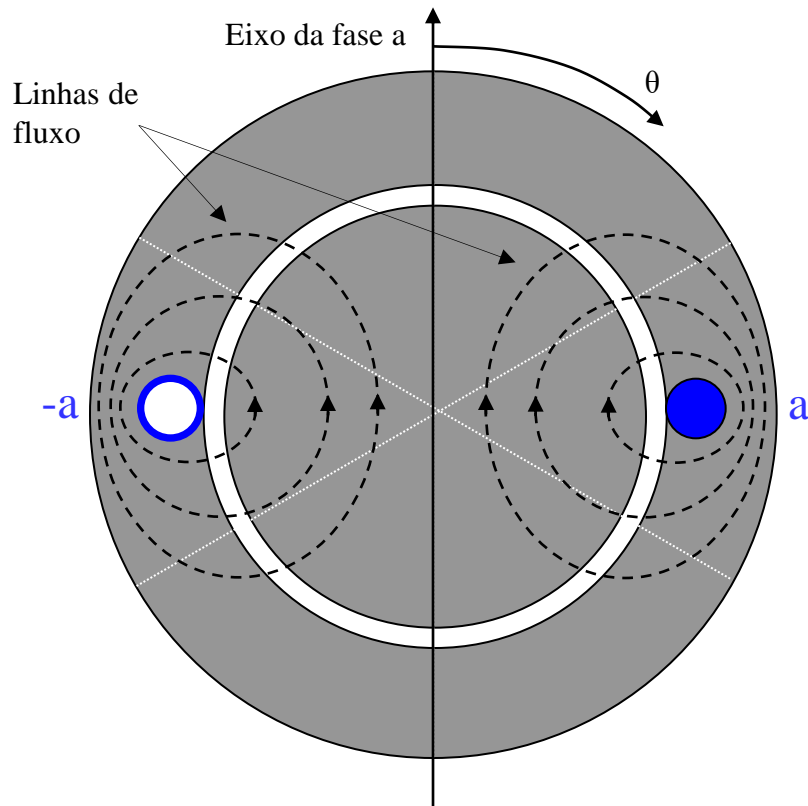
# Campo Magnético Produzido por uma Bobina

- Para resolver este problema, a bobina é distribuída de forma senoidal em ranhuras sobre toda a periferia do estator, resultando em distribuição espacial de força magnetomotriz aproximadamente senoidal;



# Campo Magnético Produzido por uma Bobina

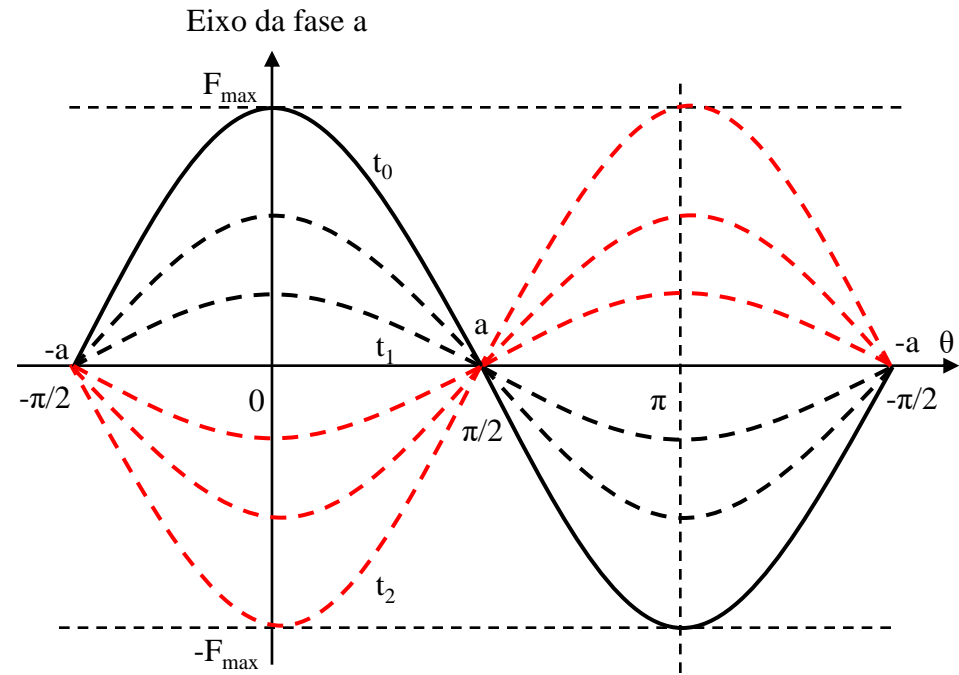
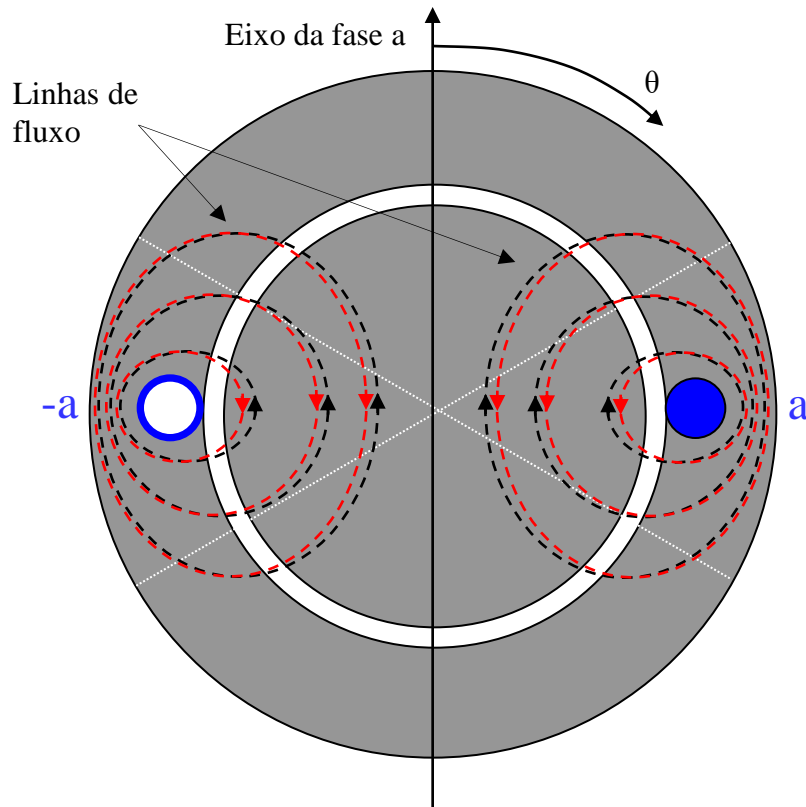
- Enrolamento monofásico excitado por uma corrente constante.



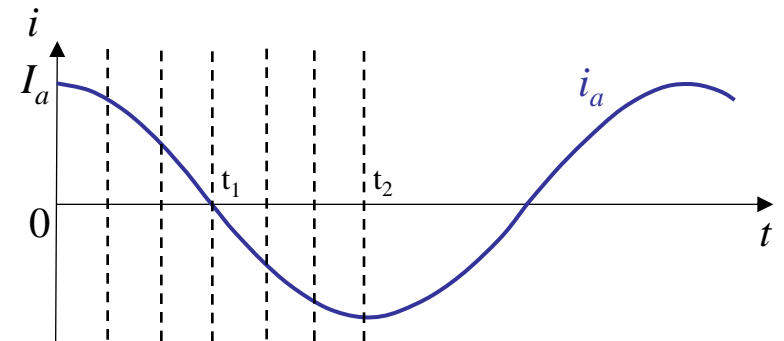
*fmm* estacionária no tempo e varia senoidalmente no espaço em relação a  $\theta$ .

# Campo Magnético Pulsante

- Enrolamento monofásico excitado por uma corrente senoidal.



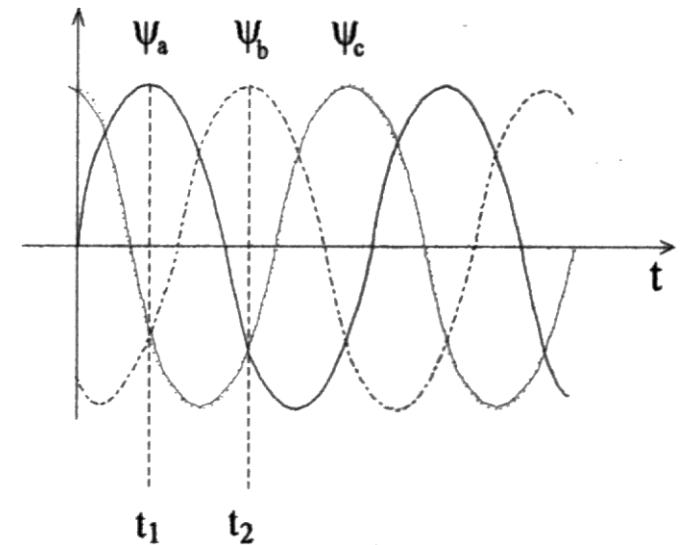
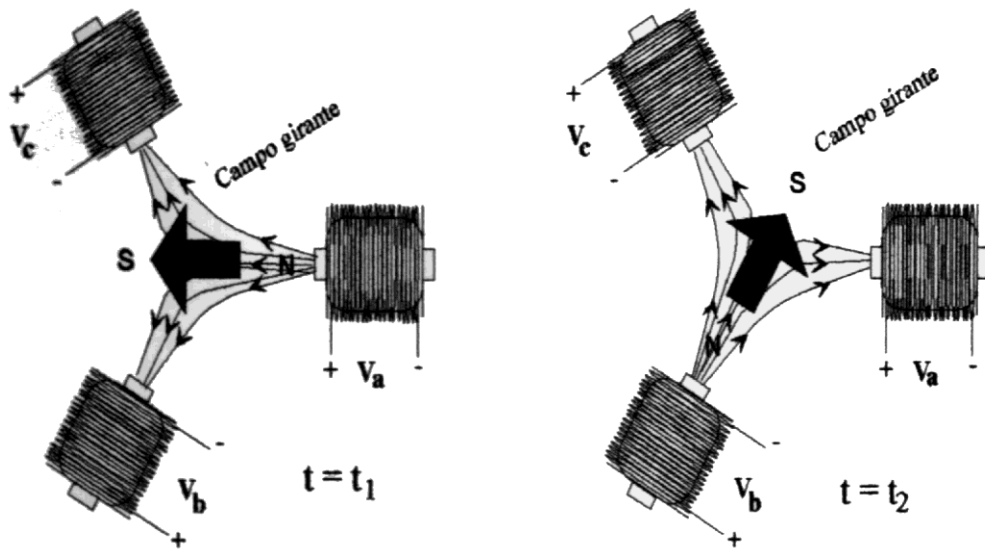
- *fmm pulsante* - varia senoidalmente em relação a  $\theta$  e ao tempo. (Campo pulsante)





# Campo Magnético Girante

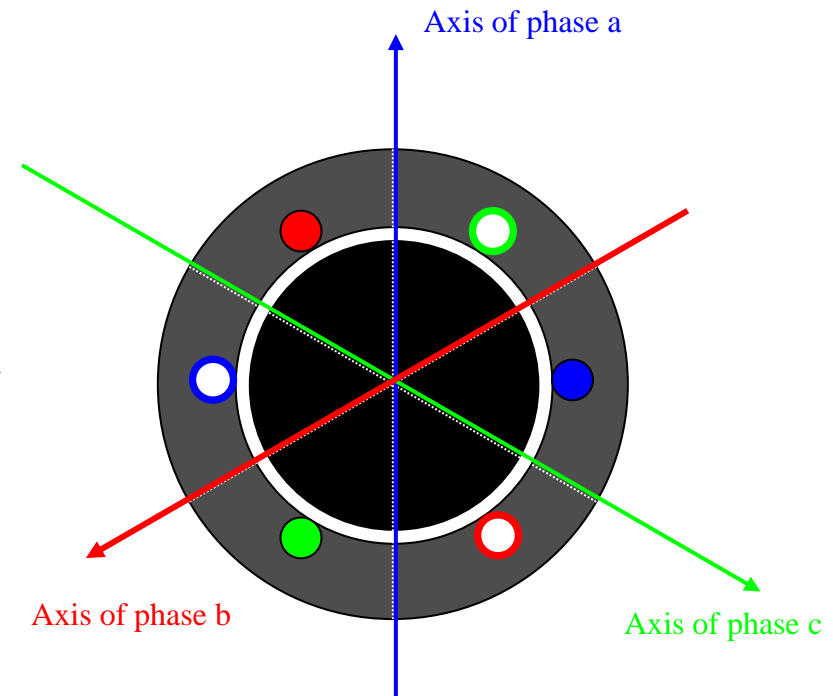
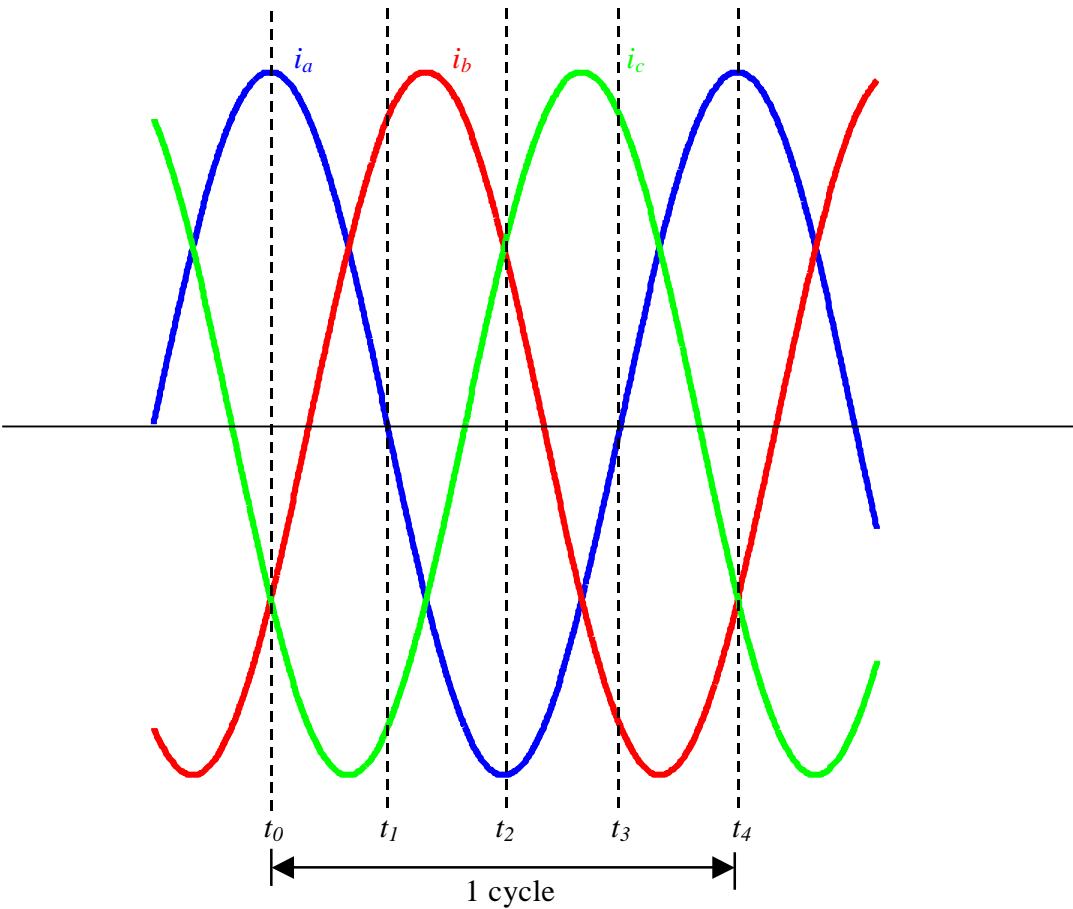
Três correntes alternadas senoidais, com mesma amplitude e defasadas de 120 graus, circulando por três bobinas fixas, cujos eixos magnéticos distam 120 graus entre si, produzem um campo magnético girante de intensidade constante.



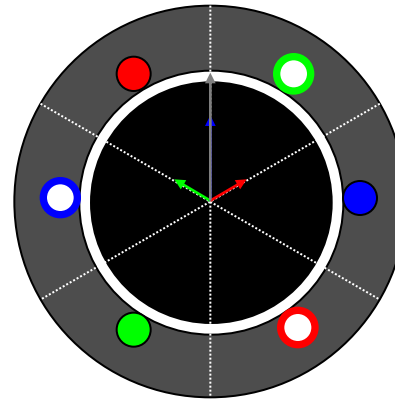
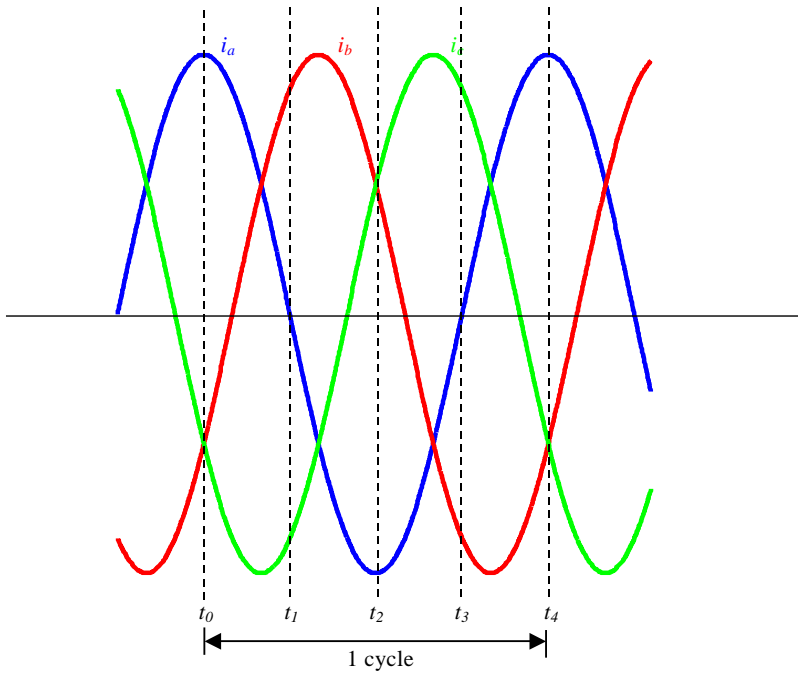


# Campo Magnético Produzido por 3 Bobinas

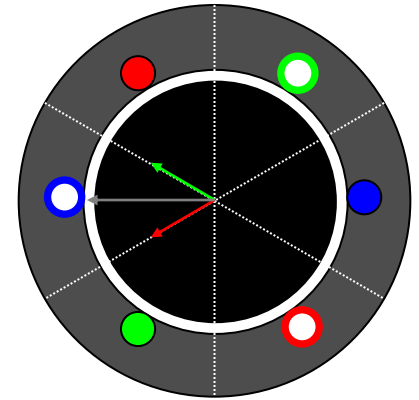
- Campo girante (método gráfico)



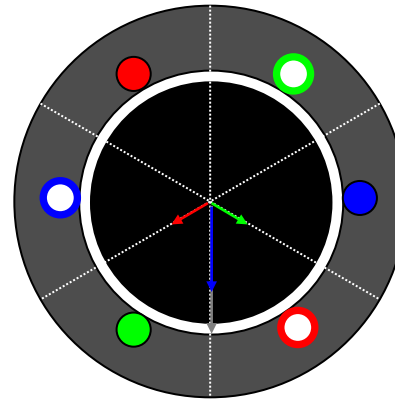
# Magnitude do Campo Girante – Método Gráfico



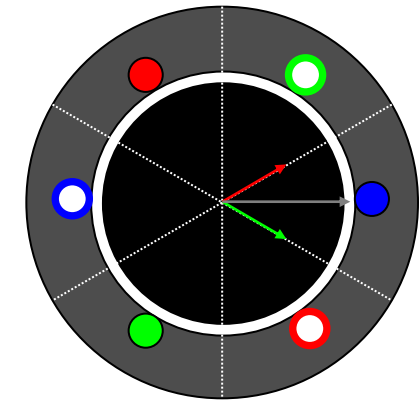
( $t_0$  e  $t_4$ )



( $t_1$ )



( $t_2$ )



( $t_3$ )

animação

## Magnitude do Campo Girante – Método Gráfico

---

- Módulo constante ( $\frac{3}{2} F_{\max}$ )
- Velocidade depende da frequência da rede elétrica ( $n = 120f/p$ )
- Sequência de fase determina o sentido de rotação do campo girante

Considerando correntes trifásicas

$$i_a = I_m \cos \omega t$$

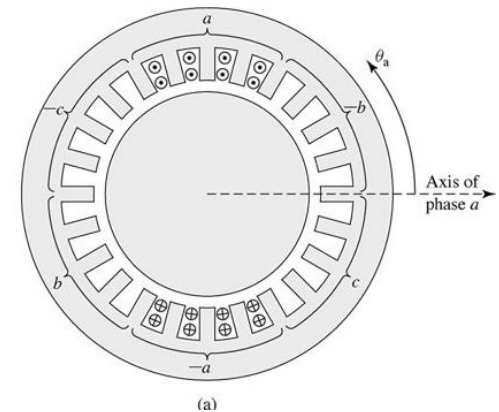
$$i_b = I_m \cos(\omega t - 120^\circ)$$

$$i_c = I_m \cos(\omega t + 120^\circ)$$

# Magnitude do Campo Girante – Método Analítico

- A distribuição espacial das bobinas **a**, **b** e **c**, resulta na produção de força magnetomotriz pulsante em cada fase;

$$\text{f.m.m} = Ni$$



$$\mathcal{F}_a = N \cos \theta * i_a = NI_m \cos \omega t \cos \theta$$

$$\mathcal{F}_b = N \cos(\theta - 120) * i_b = NI_m \cos(\omega t - 120^\circ) \cos(\theta - 120^\circ)$$

$$\mathcal{F}_c = N \cos(\theta + 120) * i_b = NI_m \cos(\omega t + 120^\circ) \cos(\theta + 120^\circ)$$

- **Vamos provar que a f.m.m. líquida é girante, com velocidade síncrona e amplitude constante;**

# Magnitude do Campo Girante – Método Analítico

➤ A força magnetomotriz líquida é:

$$\mathcal{F}(\theta, t) = \mathcal{F}_a + \mathcal{F}_b + \mathcal{F}_c$$

$$\mathcal{F}_a = N \cos \theta * i_a = NI_m \cos \omega t \cos \theta$$

$$\mathcal{F}_b = N \cos(\theta - 120) * i_b = NI_m \cos(\omega t - 120^\circ) \cos(\theta - 120^\circ)$$

$$\mathcal{F}_c = N \cos(\theta + 120) * i_b = NI_m \cos(\omega t + 120^\circ) \cos(\theta + 120^\circ)$$

$$\cos A \cos B = \frac{1}{2} \cos(A - B) + \frac{1}{2} \cos(A + B)$$

*tem-se*

$$\begin{aligned} \mathcal{F}(\theta, t) &= \frac{1}{2} NI_m \cos(\omega t - \theta) + \frac{1}{2} NI_m \cos(\omega t + \theta) \\ &\quad + \frac{1}{2} NI_m \cos(\omega t - \theta) + \frac{1}{2} NI_m \cos(\omega t + \theta - 240^\circ) \\ &\quad + \frac{1}{2} NI_m \cos(\omega t - \theta) + \frac{1}{2} NI_m \cos(\omega t + \theta + 240^\circ) \end{aligned}$$

$$\mathcal{F}(\theta, t) = \frac{3}{2} NI_m \cos(\omega t - \theta)$$

# Magnitude do Campo Girante – Método Analítico

- O que demonstra que a força magnetomotriz é girante, com velocidade  $\omega=2\pi f$  e amplitude constante, igual a  $3NI_m/2$ ;

$$\mathcal{F}(\theta, t) = \mathcal{F}_a + \mathcal{F}_b + \mathcal{F}_c$$

$$\mathcal{F}(\theta, t) = \frac{3}{2} NI_m \cos(\omega t - \theta)$$

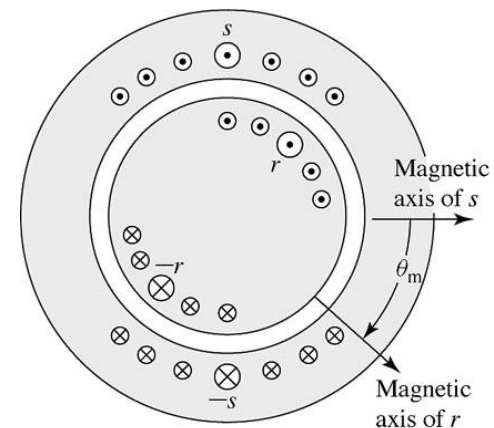


# Tensão Induzida pelo Campo Girante

- A tensão induzida nas bobinas do rotor será senoidal, pois:  
**no tempo:** para  $\theta$  fixo a força magnetomotriz será senoidal  
**no espaço:** para  $t$  fixo a força magnetomotriz será senoidal
- A distribuição da densidade de fluxo no entreferro será senoidal:  $B(\theta) = B_{\max} \cos(\theta)$  ;
- A tensão induzida nas bobinas será senoidal e com a mesma frequência do campo girante (bobinas do rotor em aberto);

$$\mathcal{F}(\theta, t) = \mathcal{F}_a + \mathcal{F}_b + \mathcal{F}_c$$

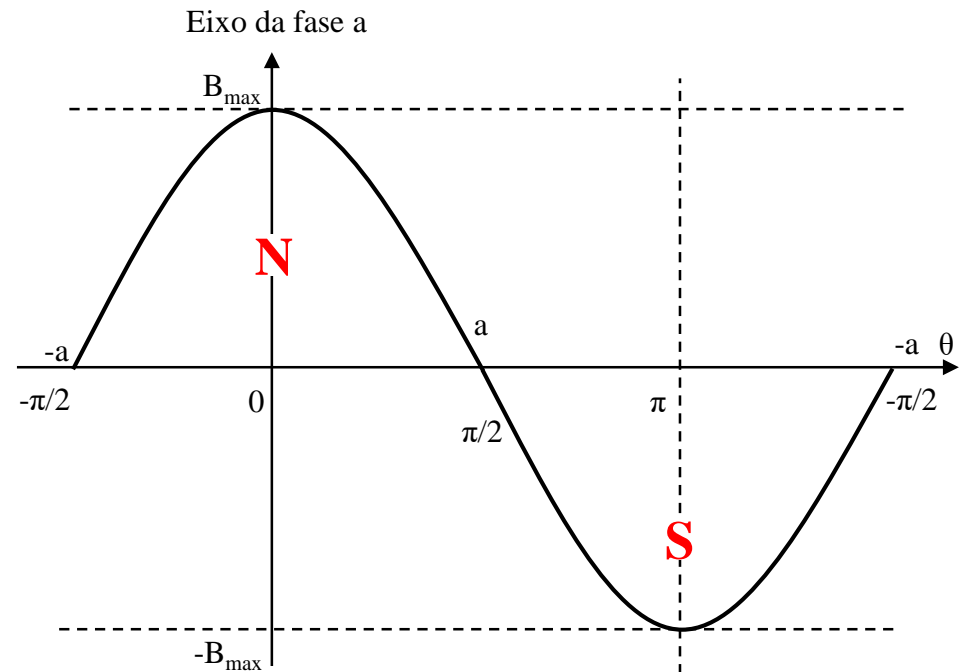
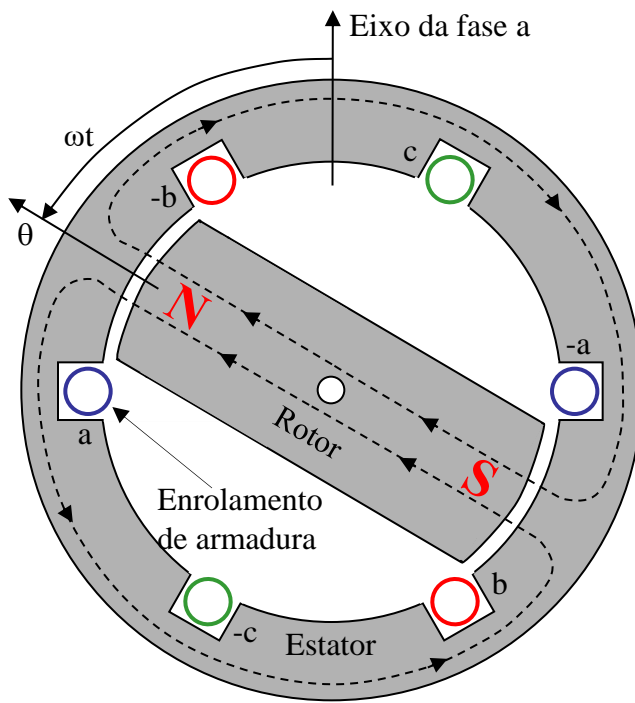
$$\mathcal{F}(\theta, t) = \frac{3}{2} NI_m \cos(\omega t - \theta)$$



(a)

# Tensão Induzida pelo Campo Girante

- Um campo magnético girante pode ser criado pela rotação de um par magnético.



- O campo girante induzirá tensões nos enrolamentos a-a, b-b e c-c.
- As tensões induzidas podem ser obtidas da lei de indução de Faraday.

# Tensão Induzida pelo Campo Girante

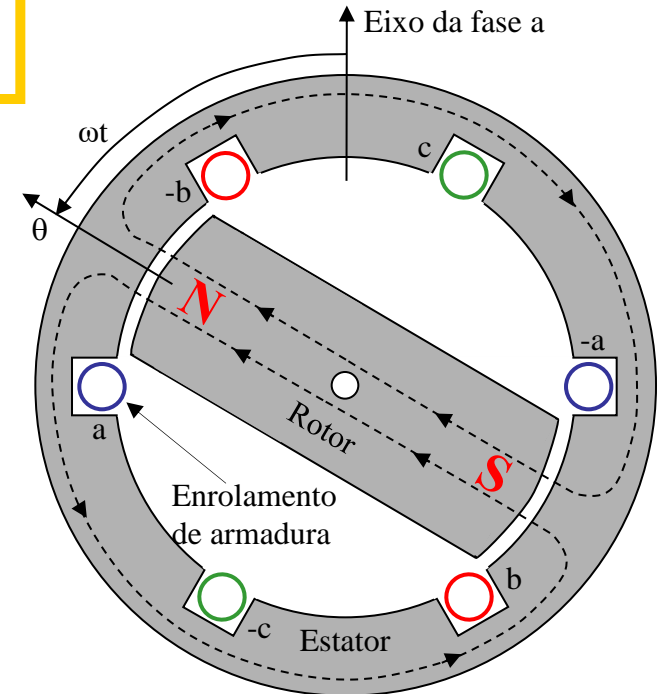
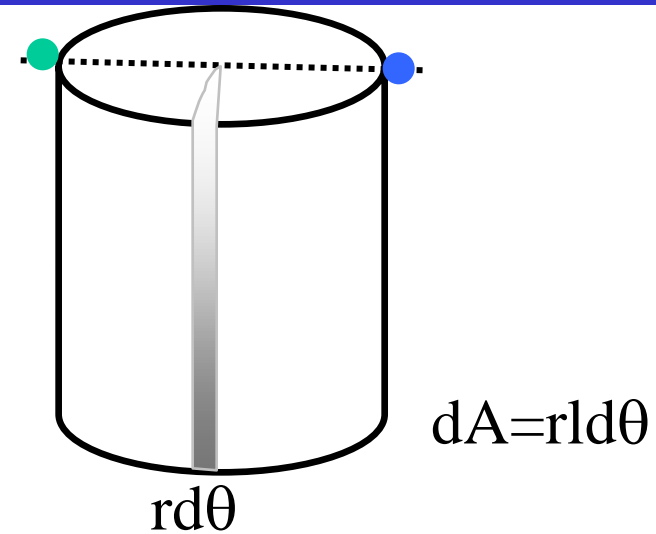
➤ O fluxo por pólo no entreferro será:

$$\phi_p = \int_{-\pi/2}^{\pi/2} B dA = \int_{-\pi/2}^{\pi/2} B_{\max} \cos \theta * r l d\theta$$

$$= r l B_{\max} \int_{-\pi/2}^{\pi/2} \cos \theta d\theta = r l B_{\max} \sin \theta \Big|_{-\pi/2}^{\pi/2}$$

$$\phi_p = 2 r l B_{\max}$$

Em que:  $r$  é o raio até o entreferro e  $l$  é o comprimento axial do ferro do estator/rotor.



# Tensão Induzida pelo Campo Girante

➤ O fluxo por pólo no entreferro será:

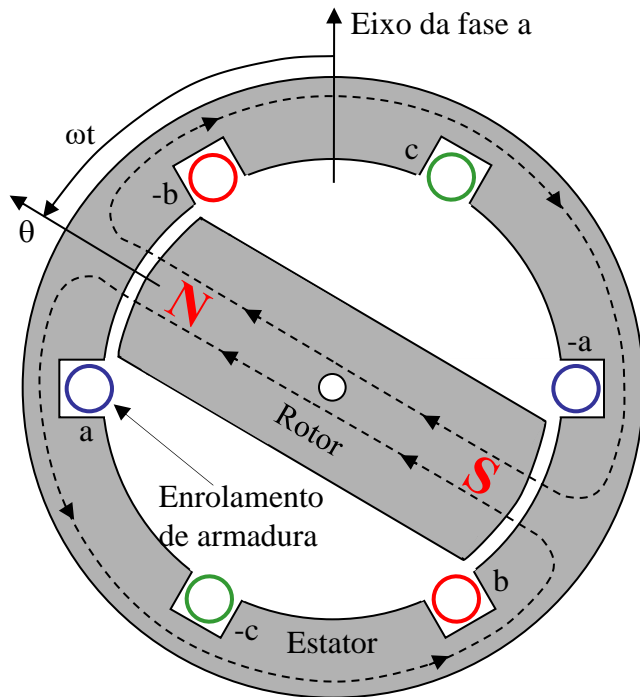
$$\Phi_P = \int_{-\pi/2}^{\pi/2} B(\theta) l r d\theta = 2B_{\max} l r$$

- À medida que o rotor gira, o fluxo concatenado varia senoidalmente com o ângulo entre os eixos magnéticos das bobinas do estator e do rotor.
- Com o rotor girando a uma velocidade angular constante, o fluxo concatenado com a bobina do estator da fase a é:

$$\lambda_a(\omega t) = N\Phi_P \cos \omega t$$

# Tensão Induzida pelo Campo Girante

- Considerando o enrolamento concentrado e com  $N$  espiras, o fluxo concatenado com o enrolamento varia no tempo senoidalmente.



- O fluxo será máximo para  $\omega t=0$ ;
- O fluxo será nulo para  $\omega t=90^\circ$ ;

Assim,

$$\lambda_a = N\phi_p \cos \omega t$$

- Pela lei de Faraday, variação de fluxo produz tensão induzida:

$$e_a = -\frac{d\lambda_a}{dt} = \omega N\phi_p \sin \omega t = E_{\max} \sin \omega t$$

de forma similar :

$$e_b = E_{\max} \sin(\omega t - 120^\circ)$$

$$e_c = E_{\max} \sin(\omega t + 120^\circ)$$

# Tensão Induzida pelo Campo Girante

- O Valor RMS da tensão induzida é:

$$E_{\mathcal{RMS}} = \frac{E_{\max}}{\sqrt{2}} = \frac{\omega N \phi_p}{\sqrt{2}} = \frac{2\pi f N \phi_p}{\sqrt{2}} = 4,44 f N \phi_p$$

- Na máquina real o enrolamento é **distribuído**, e assim as tensões induzidas em cada espira não estarão em fase. Ou seja, a soma vetorial de cada  $\mathbf{e}_{ai}$  será menor do que a soma algébrica. Logo, para enrolamentos distribuídos aplica-se um fator  $K_w$  que varia de 0,85 a 0,95. Portanto:

$$E_{\mathcal{RMS}} = 4,44 f N \phi_p K_w$$

## Tensão Induzida pelo Campo Girante

- Um fator de redução ( $k_w$ ) é usado para o cálculo da tensão induzida em um enrolamento distribuído;
- Para máquinas trifásicas  $k_w$ , denominada por constante do enrolamento, varia de 0,85 a 0,95;
- A tensão induzida será então, dada por:

$$E_{\mathcal{RMS}} = 4,44 f N_{ph} \phi_p k_w$$

- Onde  $N_{ph}$  é o número total de espiras em série, por fase, considerado como concentrado na ranhura central;



## Próxima Aula

---

- Máquina de indução trifásica
- Máquina síncrona